

## С п и с о к    л и т е р а т у р ы

- [1] Ни S.M. // Appl. Phys. Lett. 1987. V. 51. N 5. P. 308-310.
- [2] Wen D.S., Smith P.L., Osburg C.M., Rozgonyu G.A. // Appl. Phys. Lett. 1987. V. 51. N 15. P. 1182-1184.
- [3] Итальянцев А.Г., Краснобаев Л.Я., Кузнецов А.Ю., Мордкович В.Н. // Письма в ЖТФ. 1988. Т. 14. В. 13. С. 1178-1182.
- [4]. Пантелеев В.А., Черняховский В.В., Ершов С.Н. // ФТТ. 1974. Т. 16. В. 7. С. 2151-2153.
- [5] Пантелеев В.А., Ершов С.Н., Черняховский В.В., Нагорных С.Н. // Письма в ЖЭТФ. 1976. Т. 23. В. 12. С. 688-691.
- [6] Мьюарка Ш. Силициды для СБИС. М.: Мир 1985. 382 с.
- [7] Ни S.M. // J. Appl. Phys. 1974. V. 45. N 6. P. 1567-1573.
- [8] Павлов П.В., Демидов Е.С., Зорина Г.Н.// ФТП. 1987. Т. 21. В. 6. С. 984-989.

Поступило в Редакцию  
20 января 1989 г.

Письма в ЖТФ, том 15, вып. 11

12 июня 1989 г.

05.4

### НАМАГНИЧИВАНИЕ И КРИТИЧЕСКИЕ ТОКИ КЕРАМИЧЕСКИХ СВЕРХПРОВОДНИКОВ

Ю.И. Кузьмин, И.В. Плешаков

Несмотря на большое количество публикаций по магнитным свойствам ВТСП, информация о критических параметрах керамики является неполной и противоречивой. Цель настоящей работы состоит в изучении полевых зависимостей критических токов и сил пиннинга, получаемых в экспериментах по намагничиванию сверхпроводящей керамики  $YBa_2Cu_3O_x - \delta$ , полученной в различных технологических режимах (в частности, при разных температурах обжига).

Эксперимент проводился следующим образом: два цилиндрических образца длиной 8 мм и диаметром 7 мм плотно прижимались торцами друг к другу. В одном из них была сделана полость, в которую помешался датчик Холла с размерами рабочей области  $1.5 \times 0.5 \times 0.05$  мм<sup>3</sup>. Чувствительность датчика составляла 11.39 мкВ·Э<sup>-1</sup>, усилительная аппаратура обеспечивала точность до 0.2 Э. Внешнее поле, прикладываемое по оси цилиндра, менялось в диапазоне 0-

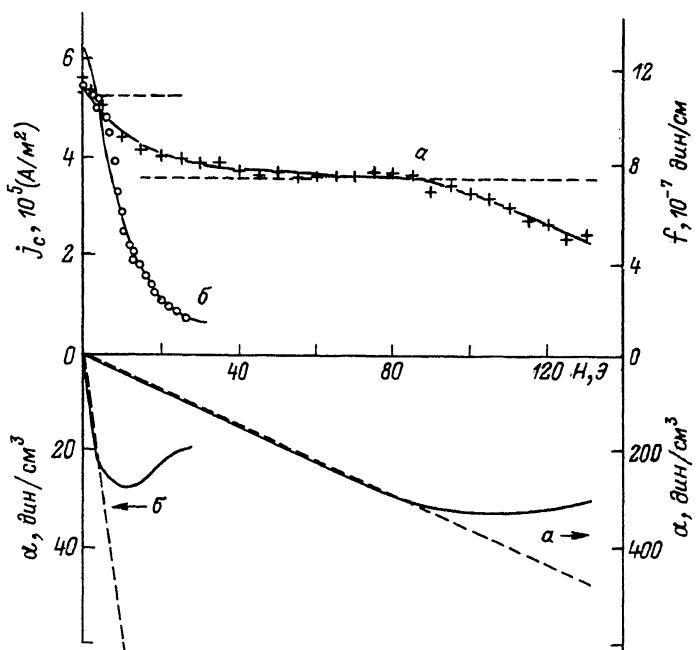


Рис. 1. Зависимости магнитной индукции в полости  $B_0$  от напряженности внешнего магнитного поля для двух образцов с температурами обжига  $950\text{ }^{\circ}\text{C}$  (а) и  $910\text{ }^{\circ}\text{C}$  (б).

300 Э. Измерения проводились при температуре 77 К после охлаждения в нулевом поле на образцах двух типов, отличающихся температурой обжига. Полученные кривые намагничивания представляют собой гистерезисные петли двух типов, качественно различающиеся по своей форме (рис. 1, кривые а и б).

Анализ данных осуществлялся в рамках концепции критического состояния: предполагалось, что резистивный ток существенно меньше критического. При этом плотность сверхпроводящих экранирующих токов равна критической  $j_c$  и из уравнения Максвелла для магнитного поля  $B$  имеем:

$$j_c \frac{\vec{E}}{E} = \frac{c}{4\pi} \nabla \times \vec{B}, \quad (1)$$

где  $\vec{E}$  – электрическое поле в области проникновения магнитного потока,  $c$  – скорость света. Отметим, что приближение Бина–Лондона [1, 2], в котором полагается  $j_c = \text{const}$  независимо от  $B$ , является частным случаем модели критического состояния.

По ширине экспериментальной петли намагничивания  $\delta B$  (рис. 1) определялась зависимость критического тока от напряженности магнитного поля (рис. 2). Считая, что плотность критического тока при данном неизменна в пределах геометрических размеров образца,

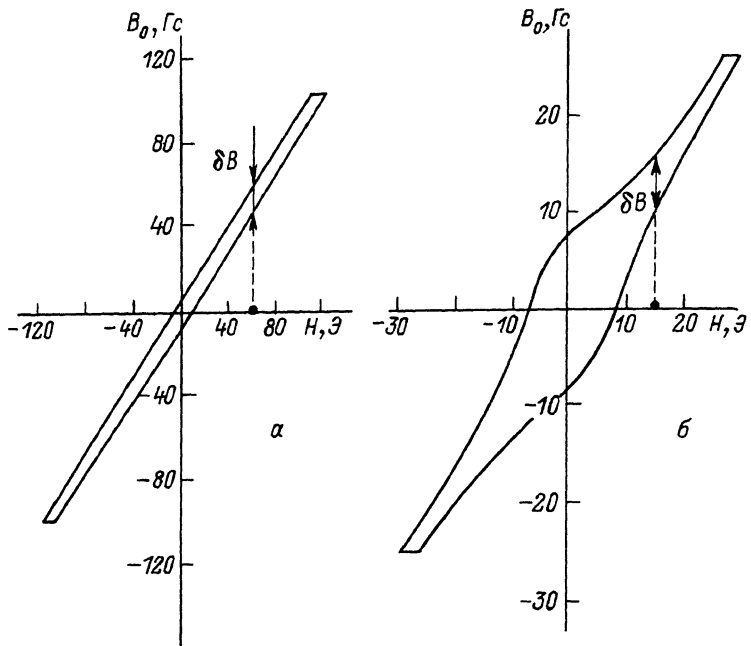


Рис. 2. Полевые зависимости критического тока и силы пиннинга для образцов (а) и (б). Точки — эксперимент, сплошная линия — оптимальная аппроксимация, пунктир — приближение Бина-Лондона.

из (1) получим  $j_c = (c/4\pi) \delta B / 2a$ , где  $a$  — средняя толщина стенки полости ( $2a = 2.25$  мм). Физический смысл этого приближения состоит в том, что напряженность магнитного поля принимается равной среднему значению магнитной индукции при перемагничивании образца до одного и того же значения  $H$ . Полученные значения  $j_c$  (рис. 2) согласуются с данными для керамических ВТСП [3-6].

Далее осуществлялся регрессионный анализ полученных зависимостей в координатах  $j_c^{-1} = j_c^{-1}(H)$  методом наименьших квадратов вычислялись коэффициенты аппроксимирующего полинома  $j_c^{-1} = \sum_{i=1}^R \theta_i H^i$ , оптимальная степень  $R$  которого определялась по  $F$ -критерию Фишера. Линейная аппроксимация  $j_c^{-1} \propto H + H_{ct}$  позволяла оценивать величину термодинамического критического поля  $H_{ct} = \theta_0 \theta_1$  [7]. Для образца (а)  $H_{ct}$  составило 160 Э, для образца (б)  $H_{ct} = 90$  Э. На рис. 2 показаны результаты оптимальной аппроксимации при 1%-уровне значимости: для образца (а)  $R = 3$ , для образца (б)  $R = 2$ .

По полученным полевым зависимостям критических токов были вычислены объемная плотность силы пиннинга  $\alpha = -(1/c) \vec{j}_c \times \vec{B}$

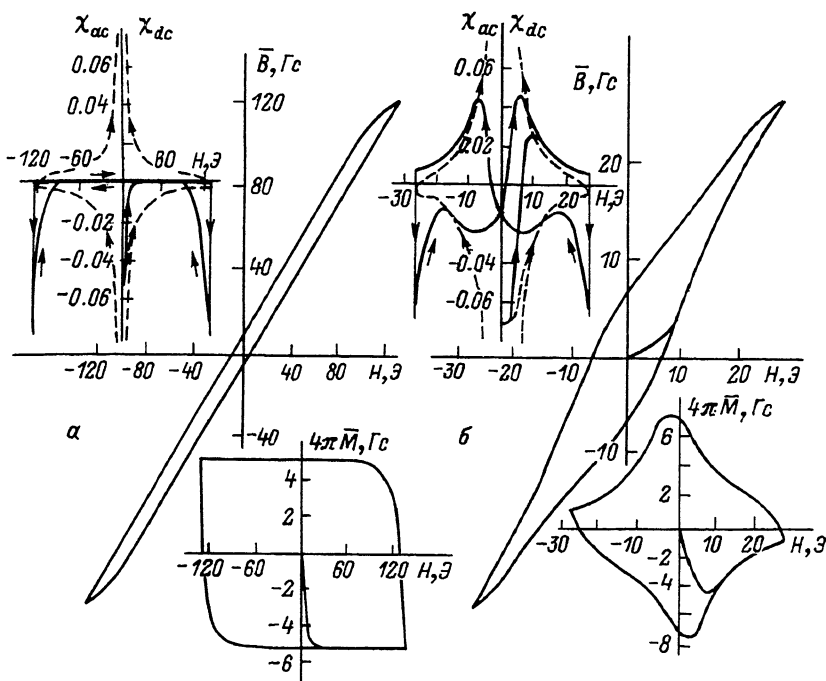


Рис. 3. Кривые намагничивания сплошных сверхпроводящих цилиндров ( $r = 3.5$  мм), а)  $H^* = \text{const}$ ,  $H^* = H^*(H)$ . На врезках: намагниченность  $\bar{M}$ , статическая восприимчивость  $\chi_{dc} = \bar{M}/H$  (пунктир), динамическая восприимчивость  $\chi_{ac} = \partial\bar{M}/\partial H$  (сплошная линия).

и сила пиннинга, действующая на единицу длины одиночного вихря  $f = -(\Phi_0/c)\vec{j}_c \times \frac{\vec{B}}{B}$ , где  $\Phi_0$  – квант потока (рис. 2). Наблюдаемый сильный пиннинг, по-видимому, осуществляется на включениях нормальной фазы.

Далее были рассчитаны кривые намагничивания сплошных цилиндрических образцов в модели критического состояния (рис. 3). При усреднении магнитной индукции по поперечной площади цилиндра предполагалось  $j_c = \bar{j}_c = \text{const}$ , но при расчетах кривых  $\bar{B} = \bar{B}(H)$  учитывалась полевая зависимость усредненного в пределах геометрических размеров образца критического тока  $\bar{j}_c = \bar{j}_c(H)$ .

После интегрирования в цилиндрических координатах выражений для магнитной индукции в критическом состоянии, имеем: – при возрастании  $H$  до  $H_m$  (для размагниченного образца)

$$\bar{B} = \frac{H^2}{H^*} \left(1 - \frac{H}{3H^*}\right), \quad H \in (0, H^*),$$

$$\bar{B} = H - \frac{H^*}{3}, \quad HE(H^*, H_m);$$

- при убывании  $H$  до  $H = -H_m$

$$\bar{B} = H_m - \frac{H^*}{3} - \frac{(H_m - H)^2}{2H^*} \left( 1 - \frac{H_m - H}{6H^*} \right) HE(H_m - 2H^*, H_m),$$

$$\bar{B} = H + \frac{H^*}{3}, \quad HE(-H_m, H_m - 2H^*);$$

- при повторном возрастании  $H$  (для намагниченного образца)

$$\bar{B} = -H_m + \frac{H^*}{3} + \frac{(H_m + H)^2}{2H^*} \left( 1 - \frac{H_m + H}{6H^*} \right), \quad HE(-H_m, -H_m + 2H^*),$$

$$\bar{B} = H - \frac{H^*}{3}, \quad HE(-H_m + 2H^*, H_m),$$

где  $H_m$  - максимальное намагничивающее поле,  $H^*(H) = \pi(4\pi/c)rj_c(H)$  - поле экранирования ( $H^* \gg H_{c1}$ ),  $r$  - радиус цилиндра.

Полевая зависимость критического тока для образца (а) при  $j_c = 3.6 \cdot 10^5 \text{ A} \cdot \text{м}^{-2}$  имеет плато, характерное для жестких сверхпроводников (рис. 2). Кривая намагничивания, рассчитанная для этой плотности критического тока ( $H^* = 15.8 \text{ Э}$ ) в приближении Бина-Лондона ( $j_c = \text{const}$ ), приведена на рис. 3, а. Ее вид качественно согласуется с экспериментом (рис. 1, а) и не меняется при учете зависимости  $j_c = j_c(H)$ , полученной в результате регрессионного анализа. Объемная плотность силы пиннинга  $\alpha$  линейна по магнитному полю вплоть до 100 Э, что также характерно для модели Бина-Лондона (рис. 2, пунктир).

Для образца (б) плато на зависимости  $j_c = j_c(H)$  отсутствует, полевая зависимость силы пиннинга  $\alpha$  существенно нелинейна (рис. 2) и расчеты в приближении Бина-Лондона не позволяют добиться согласия с экспериментом. На рис. 3, б показана кривая намагничивания, полученная с помощью оптимальной аппроксимации  $j_c = j_c(H)$ . Видно ее качественное отличие от кривой а: полевая зависимость критического тока (и поля экранирования) приводит к выпуклости петли  $\bar{B} = \bar{B}(H)$  при малых полях и существенно меняет вид кривых намагниченности  $\bar{M} = \bar{M}(H)$  и динамической восприимчивости  $\chi_{ac} = \chi_{ac}(H)$  (врезки рис. 3). На эксперименте наблюдались петли, по своей форме подобные как рис. 3, а, так и рис. 3, б (в зависимости от технологического режима).

Таким образом, бесконтактным методом получены зависимости плотности критического тока от магнитного поля для керамических сверхпроводников  $YBa_2Cu_3O_7-\delta$ . Обнаружены петли намагничивания двух типов. Первый адекватно описывается моделью критиче-

ского состояния Бина-Лондона, а второй требует учета полевой зависимости критического тока. Подтверждено наличие сильного пиннинга, получены полевые зависимости объемной и линейной плотностей сил пиннинга.

Авторы благодарят М.П. Петрова и А.П. Паугурта за полезные обсуждения.

### Список литературы

- [1] Bean C.P. // Phys. Rev. Lett. 1962. V. 8. N 6. P. 250-253.
- [2] London H. // Phys. Lett. 1963. V. 6. N 2. P. 162-165.
- [3] Cava R.J., Batlogg B., van Dover R.B., Murphy D.W., Sunshine S., Siegrist T., Remeika J.P., Rietman E.A., Zahurak S., Espinosa G.P. // Phys. Rev. Lett. 1987. V. 58. N 16. P. 1676-1679.
- [4] Chaudhari P., Mannhart J., Dimos D., Tsuei C.C., Chi J., Oprysko M.M., Scheuermann M. // Phys. Rev. Lett. 1988. V. 60. N 16. P. 1653-1656.
- [5] Koch R.H., Umbach C.P., Clark G.J., Chaudhari P., Laibowitz R.B. // Appl. Phys. Lett. 1987. V. 51. N 3. P. 200-202.
- [6] Nishikawa O., Nagai M. // Phys. Rev. B. 1988. V. 37. N 7. P. 3685-3688.
- [7] Kim Y.B., Hempstead C.F., Strnad A.R. // Phys. Rev. 1963. V. 129. N 2. P. 528-535.

Физико-технический  
институт им. А.Ф. Иоффе  
АН СССР, Ленинград

Поступило в Редакцию  
7 февраля 1989 г.